

резонатора, что приводит к большой доле спонтанного излучения. В работе [5] получено уменьшение выходной мощности в режиме синхронизации мод ($\lambda = 514,5$ нм) при длине резонатора 2 м на 60% от мощности в режиме свободной генерации. В случае синхронизации на удвоенной частоте можно считать, что в резонаторе существуют два импульса, разделенные временным интервалом и последовательно снимающие возбуждение верхнего лазерного уровня. Доля спонтанного излучения при этом уменьшается и выходная мощность практически не меняется. Средняя мощность излучения в режиме синхронизации мод на частоте межмодовых биений составляла 150 мВт. Полученные результаты хорошо согласуются с данными работ [3—5].

Проведенные исследования показывают возможность синхронизации мод аргонового лазера не только на частоте межмодовых биений, но и на удвоенной частоте. При этом модуляция на удвоенной частоте не приводит к уменьшению интегральной мощности лазера. Поскольку стандартные трубки аргоновых лазеров имеют длину порядка 1 м, повышенные частоты следования импульсов осуществимо именно при модуляции на частотах, кратных частоте межмодовых биений.

ЛИТЕРАТУРА

1. Борисова М. С.— Оптика и спектроскопия, 1972, т. 33, вып. 6, с. 1134.
2. Виноградов А. В., Криндач Д. П., Назаров Б. И., Салимов В. М.— В сб.: Лазеры на основе сложных органических соединений и их применение. Тез. докл. II Всесоюзной конфер. (Душанбе, 1977).— Минск, 1977, с. 47.
3. Bennet W. R., Carlin Ir., D. B., Collins G. I.— IEEE. J. Quantum Electronics, 1974, v. 10, № 1, p. 97.
4. Chan C. K., Sari S. O.— Appl. Phys. Lett., 1974, v. 25, № 7, p. 403.
5. Кестер, Даубен.— Приборы для научных исследований, 1978, № 8, с. 177.
6. Siegman A. E., Kuizenga D. J.— Opto-electronics, 1970, v. 6, p. 43.

Поступила в редакцию
04.07.79.

НИИ ПФП

УДК 621.375

ФАМ ЧОНГ ХЬЕН, Б. Ю. ХАНОХ, А. П. ХАПАЛЮК

ОСОБЕННОСТИ ГЕНЕРАЦИИ В РЕЗОНАТОРЕ С ТЕТРАЭДРИЧЕСКИМ ПРИЗМЕННЫМ ОТРАЖАТЕЛЕМ

Особенностью тетраэдрического призмного отражателя является строго обратное направление распространения отраженного им луча по сравнению с падающим, что позволяет применять его в лазерном резонаторе в качестве отражающего элемента. По этому вопросу имеется несколько публикаций [1, 3], но систематических исследований, по-видимому, не проводилось. Например, в [1] рассмотрены лишь собственные состояния поляризации одного из вариантов резонатора с тетраэдрической призмой. Характерной особенностью таких отражателей следует считать существенное усложнение их поляризационных характеристик [2]. В данной работе исследуются основные особенности генерации в резонаторе, усложненном одной отражающей тетраэдрической призмой.

Модель изучаемого резонатора и необходимые обозначения показана

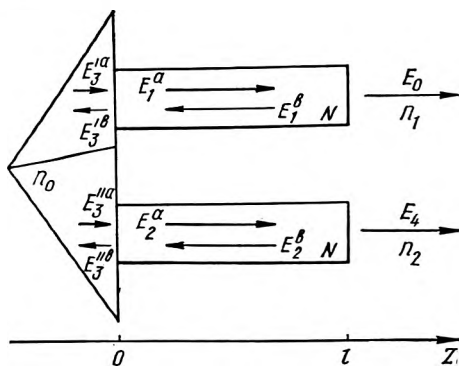


Схема резонатора с тетраэдрическим призмным отражателем

ны на рисунке. Два одинаковых стержня активной среды выставлены параллельно, свободные концы их граничат со средами, показатели преломления которых n_1 и n_2 . К противоположным их концам вплотную ставится тетраэдрический призмный отражатель с показателем преломления n_0 так, чтобы поперечные сечения стержней полностью находились в двух противоположных секторах отражения входной грани призмы. Это необходимо для согласования поляризационных характеристик резонатора, так как лучи, отраженные от разных секторов, имеют различные поляризации [2].

Условие стационарной генерации в таком резонаторе можно получить обычным методом в плосковолновом приближении. Естественно ограничиться одномерными волнами с перпендикулярным к плоской границе стержень — призма направлением распространения. Эти волны могут быть записаны в виде

$$\vec{E}_j^a = \vec{A}_j e^{-ikN_j z}, \vec{H}_j^a = N_j \vec{E}_j^b, \vec{A}_j = a_{js} \vec{s} + a_{jp} \vec{p}, \vec{E}_j^b = \vec{B}_j e^{ikN_j z}, \vec{H}_j^b = -N_j \vec{E}_j^a, \\ \vec{B}_j = b_{js} \vec{s} + b_{jp} \vec{p} \quad (j = 0, 1, 2, \dots), \quad (1)$$

где \vec{E}_j^a и \vec{H}_j^a — электрический и магнитный векторы волн, распространяющихся вдоль положительного, а \vec{E}_j^b и \vec{H}_j^b — отрицательного направления оси z ; \vec{A}_j и \vec{B}_j — их амплитуды; N_j — показатель преломления среды, в которой распространяется волна, $k = 2\pi/\lambda$ — волновое число; λ — длина волны в вакууме. Поляризация волн на данном этапе не конкретизируется; коэффициенты a_{js} , a_{jp} , b_{js} и b_{jp} могут принимать произвольные значения, а \vec{s} и \vec{p} — единичные взаимно перпендикулярные векторы, лежащие в плоскости, перпендикулярной оси z .

Как обычно, значения амплитуд \vec{A}_j и \vec{B}_j волны определяются из условия непрерывности тангенциальных составляющих поля при переходе через границы различных сред. На свободных концах стержня ($z = l$) эти условия запишутся в виде

$$\vec{A}_0 e^{-ikn_1 l} = \vec{A}_1 e^{-ikNl} + \vec{B}_1 e^{ikNl}, n_1 \vec{A}_0 e^{-ikn_1 l} = N (\vec{A}_1 e^{-ikNl} - \vec{B}_1 e^{ikNl}), \\ \vec{A}_4 e^{-ikn_2 l} = \vec{A}_2 e^{-ikNl} + \vec{B}_2 e^{ikNl}, \\ n_2 \vec{A}_4 e^{-ikn_2 l} = N (\vec{A}_2 e^{-ikNl} - \vec{B}_2 e^{ikNl}), \quad (2)$$

где $N = n + ik$ — комплексный показатель преломления активных стержней.

Аналогичные равенства получаются на границе стержень — призма ($z = 0$):

$$\vec{A}_1 + \vec{B}_1 = \vec{A}'_3 + \vec{B}'_3, N (\vec{A}_1 - \vec{B}_1) = n_0 (\vec{A}'_3 - \vec{B}'_3), \\ \vec{A}_2 + \vec{B}_2 = \vec{A}''_3 + \vec{B}''_3, N (\vec{A}_2 - \vec{B}_2) = n_0 (\vec{A}''_3 - \vec{B}''_3). \quad (3)$$

К уравнениям (2) — (3) следует добавить уравнения связи между амплитудами волн, распространяющихся внутри призмы. Эти уравнения нетрудно записать, если известна матрица, характеризующая поляризующее действие самой призмы.

В общем случае на границе $z = 0$ условия связи для векторных амплитуд волн, распространяющихся внутри призмы, могут быть записаны в виде

$$A'_3 = CB''_3 e^{-ikn_0 d}, A''_3 = CB'_3 e^{-ikn_0 d}, \quad (4)$$

где A_3 , B_3 — матрицы-столбцы,

$$A_3 = \begin{pmatrix} a_{3s} \\ a_{3p} \end{pmatrix}, B_3 = \begin{pmatrix} b_{3s} \\ b_{3p} \end{pmatrix};$$

C — 2×2 -матрица поляризующего действия призмы, конкретный вид которой приводится в работе [2]. Величина kn_0d в (4) определяет набег фазы волн при распространении их внутри призмы.

Методом исключения отдельных амплитуд систему уравнений (2) — (4) можно свести к системе двух линейных алгебраических уравнений относительно коэффициентов a_{4s} и a_{4p} :

$$\begin{aligned} (C_{22}Y - C_{11})a_{4s} - (Y+1)C_{12}a_{4p} &= 0, \\ (Y+1)C_{21}a_{4s} - (C_{11}Y - C_{22})a_{4p} &= 0, \end{aligned} \quad (5)$$

где C_{ij} ($i, j = 1, 2$) — компоненты матрицы C , $R_j = \frac{N-n_j}{N+n_j}$ ($j = 0, 1, 2$) — амплитудные коэффициенты отражения Френеля;

$$Y = \frac{1}{|C|} e^{ikn_0d} \frac{R_0(R_1+R_2) - R_0^2 R_1 R_2 e^{-2ikNl} - e^{2ikNl}}{R_0(R_1+R_2) - R_0^2 e^{2ikNl} - R_1 R_2 e^{-2ikNl}}, \quad (6)$$

$|C| = C_{11}C_{22} - C_{12}C_{21}$ — определитель матрицы C .

Условием стационарной генерации является разрешимость системы (5), которая записывается в виде:

$$Y^2 - \left(\frac{C_s^2}{|C|} - 2 \right) Y + 1 = 0. \quad (7)$$

Это алгебраическое уравнение имеет решение:

$$Y = \frac{1}{2|C|} \left(C_s^2 - 2|C| \pm C_s \sqrt{C_s^2 4|C|} \right) = \frac{\sigma^2}{|C|}, \quad (8)$$

где $C_s = C_{11} + C_{22}$ — след матрицы C , а величина σ , определяемая из (8), называется собственным значением собственного состояния поляризации призмы [2] и характеризует изменение фазы и амплитуды волн при отражении от боковых граней призмы. Если в призме нет потерь энергии волны, то σ будет определять только сдвиг фазы, возникающий при отражении на боковых гранях призмы, и по модулю будет равна единице [1] ($\sigma = \exp(i\gamma_0)$, γ_0 — действительное число).

Если на боковых гранях призмы выполняется условие полного внутреннего отражения, то фазовый сдвиг γ_0 определяется по формуле

$$\gamma_0 = \frac{3}{2}(\varphi + \chi) - \frac{\pi}{2} \pm \arccos \left[\frac{1}{2} \left| \sin \frac{\gamma}{2} \right| \left(2 + \cos^2 \frac{\gamma}{2} \right) \right], \quad (9)$$

где φ , χ и γ определяются из формул Френеля;

$$\operatorname{tg} \frac{\varphi}{2} = \frac{\sqrt{n_0^2 \sin^2 \Theta - 1}}{n_0 \cos \Theta}, \quad \operatorname{tg} \frac{\chi}{2} = n_0^2 \operatorname{tg} \frac{\varphi}{2}, \quad \operatorname{tg} \frac{\gamma}{2} = \operatorname{tg} \frac{\varphi - \chi}{2}, \quad (10)$$

Θ — угол падения луча на отражающую боковую грань призмы.

Подставив (8) в (6) и решая получившееся уравнение относительно $\exp(-2ikNl)$, получим условие генерации в виде:

$$\exp(-2ikNl) = \frac{R_0(R_1+R_2)(\rho-1) \pm \sqrt{R_0^2(R_1-R_2)^2(\rho-1)^2 + 4R_1R_2\rho(1-R_0^2)^2}}{2R_1R_2(\rho-R_0^2)}, \quad (11)$$

где $\rho = \exp 2i(\gamma_0 - kn_0d)$.

Из (11) видно, что роль призмы определяется параметром ρ . Влиянием призмы можно пренебречь, если матрица ее поляризационного действия будет единичной ($C=1$) и сдвиг фазы внутри призмы кратен $\pi(kn_0d = m\pi, m=0, 1, 2, \dots)$. В этом случае $\rho=1$, (11) переходит

в обычное условие генерации простого резонатора с активным стержнем длиной $2l$:

$$\sqrt{R_1 R_2} e^{-2ikNl} = \pm 1. \quad (12)$$

Другой предельный случай получается, если волна не проникает в призму ($R_0=1$), тогда (11) переходит в обычное условие генерации каждого стержня по отдельности:

$$R_j e^{-2ikNl} = 1 \quad (j=1, 2). \quad (13)$$

Для того, чтобы выяснить отличие резонатора с тетраэдрической призмой от обычного простого резонатора, необходимо провести сравнение результатов исследования (11) и предельных условий (12) и (13).

Проще такой анализ провести для чистого случая симметричного резонатора, когда $R_1=R_2=R$ ($n_1=n_2=n$). При этом условие генерации (11) несколько упрощается:

$$R e^{-2ikNl} = \frac{1 \pm R_0 \sqrt{\rho}}{R_0 \pm \sqrt{\rho}} = \frac{1 \pm R_0 e^{i(\gamma_0 - kn_0 d)}}{R_0 \pm e^{i(\gamma_0 - kn_0 d)}}. \quad (14)$$

Выделяя модуль и фазу в комплексном уравнении (14), получаем фазовое и энергетическое условия генерации:

$$2knl = 2m\pi + \alpha = \text{arctg} \frac{(1 - r_0) \sin(\gamma_0 - kn_0 d)}{(1 + r_0) \cos(\gamma_0 - kn_0 d) \pm 2\sqrt{r_0} \cos \alpha_0};$$

$$r e^{4k\chi l} = \frac{1 + r_0 \pm 2\sqrt{r_0} \cos(\gamma_0 + \alpha_0 - kn_0 d)}{1 + r_0 \pm 2\sqrt{r_0} \cos(\gamma_0 - \alpha_0 - kn_0 d)}, \quad (15)$$

где целое число m определяет номер собственной частоты, а r , r_0 , α и α_0 можно найти из тождеств $R = \sqrt{r} e^{i\alpha}$, $R_0 = \sqrt{r_0} e^{i\alpha_0}$.

Фазовое и энергетическое условия генерации соответствующего простого резонатора (12) при $R_1=R_2=R$ записываются в виде

$$2knl - \alpha = m\pi, \quad r e^{4k\chi l} = 1. \quad (16)$$

Сравнение формул (15) и (16) показывает, что точное определение собственных частот резонатора с призмой требует решения трансцендентного уравнения (15). Однако в общем случае спектр собственных частот резонатора с призмой и без призмы неодинаков. К тому же спектр резонатора с призмой неэквидистантен, и его характеристики зависят от геометрических размеров призмы. Спектры обоих резонаторов будут совпадать только при условии $(1 - r_0) \sin(\gamma_0 - kn_0 d) = 0$.

Порог генерации определяется из второго уравнения в (15). Для простого резонатора правая часть этого уравнения равна единице. Поэтому для мод, у которых правая часть во втором уравнении (15) меньше единицы, порог генерации будет ниже, чем в резонаторе без призмы: если больше единицы — порог генерации будет выше. Призма не изменяет порога генерации при условии $\sin \alpha_0 \sin(kn_0 d - \gamma_0) = 0$. Если $\sin \alpha_0 = 0$, для всех собственных типов колебаний порог генерации оказывается неизменным. Второе условие $\sin(kn_0 d - \gamma_0) = 0$, вообще говоря, может выполняться только для отдельных типов колебаний.

В зависимости от размеров призмы d правая часть энергетического условия (15) генерации периодически изменяется от минимального $\frac{(1 - \sqrt{r_0})^2}{(1 + \sqrt{r_0})^2}$ до максимального $\frac{(1 + \sqrt{r_0})^2}{(1 - \sqrt{r_0})^2}$ значения.

В зависимости от этого левая часть этого равенства будет изменяться в пределах:

$$\left(\frac{1 - \sqrt{r_0}}{1 + \sqrt{r_0}} \right)^2 \leq r e^{4k\chi l} \leq \left(\frac{1 + \sqrt{r_0}}{1 - \sqrt{r_0}} \right)^2, \quad (17)$$

поэтому при достаточно большом значении d интервал возможного изменения порога генерации может оказаться велик. При этом для одной части собственных колебаний порог уменьшается, для второй части — увеличивается, и величина этого изменения зависит от частоты колебания. Таким образом, резонатор с призмой является селективным по порогу генерации.

Наконец, поляризационные характеристики резонатора с призмой совершенно иные, чем резонатора без призмы. Все собственные типы колебаний резонатора с призмой имеют вполне определенную поляризацию — собственную. Состояние поляризации выходного излучения E_4 определяется отношением $a_{4p} : a_{4s}$ и, согласно (5), равно

$$\frac{a_{4p}}{a_{4s}} = \frac{C_{22}Y - C_{11}}{(Y+1)C_{12}} = \frac{\sigma - C_{11}}{C_{12}}. \quad (18)$$

Такое состояние поляризации совпадает с собственным состоянием поляризации призмы [1]. Известно, что при нормальном падении света на плоскую поверхность, поляризационные характеристики для преломления отраженного и падающего света одинаковы. Следовательно, резонатор с тетраэдрической призмой характеризуется собственной поляризацией, которая совпадает с собственной поляризацией самой призмы. Каждая такая призма имеет две собственные (как правило, эллиптические) поляризации. Только в одной из двух этих поляризаций и будет находиться излучение самого резонатора.

Таким образом, при использовании в лазерном резонаторе тетраэдрической призмы полного отражения появляются новые параметры, изменением которых можно существенно управлять основными характеристиками лазера: спектром, порогом генерации и поляризацией выходящего луча.

ЛИТЕРАТУРА

1. Реск Е. Р.— IOSA, 1962, v. 52, № 3, p. 253.
2. Бондаренко И. Д., Ханох Б. Ю.— Вестн. Белорусского ун-та. Сер. 1., физ., мат. и мех., 1979, № 1, с. 7.
3. Мэй глэнд А., Данин М. Введение в физику лазеров.— М., 1978.

Поступила в редакцию
06.09.79.

НИИ ПФФ